

bron :

Publicatieblad van de Europese Gemeenschappen

PB C 296 van 15/10/99

GEMEENSCHAPPELIJK STANDPUNT (EG) Nr. 35/1999

door de Raad vastgesteld

op 22 april 1999 met het oog op de aanneming van Richtlijn 1999/.../EG van het Europees Parlement en de Raad van ... inzake de onderlinge aanpassing van de wetgevingen der lidstaten met betrekking tot maatregelen tegen de emissie van verontreinigende gassen en deeltjes door voertuigmotoren met compressieontsteking en de emissie van verontreinigende gassen door op aardgas of vloeibaar petroleumgas lopende voertuigmotoren met elektrische ontsteking en tot wijziging van Richtlijn 88/77/EEG van de Raad

Bijlage VII

Voorbeeld van de berekeningsmethode

1. ESC-TEST

1. 1. Gasvormige emissies

De meetgegevens voor de berekening van de resultaten voor de afzonderlijke testfasen staan hieronder. In dit voorbeeld worden CO en NO_x op droge basis en HC op natte basis gemeten. De HC-concentratie wordt uitgedrukt in propaanequivalent (C3) en moet met 3 worden vermenigvuldigd om het C1-equivalent te verkrijgen. De berekeningswijze is identiek voor de andere testfasen.

P (kW)	Ta (K)	H (g/kg)	G _{EXH} (kg)	G _{AIRW} (kg)	G _{FUEL} (kg)	HC (ppm)	CO (ppm)	NO _x
82,9	294,8	7,81	563,38	545,29	18,09	6,3	41,2	495

Berekening van de droog/natcorrectiefactor $K_{W,r}$ (bijlage III, aanhangsel 1, punt 4.2)

Berekening van de natte concentraties

$$\text{CO} = 41,2 * 0,9239 = 38,1 \text{ ppm}$$

$$\text{NO}_x = 495 * 0,9239 = 457 \text{ ppm}$$

Berekening van de NO_x -vochtigheidscorrectiefactor $K_{\text{H,D}}$ (bijlage III, aanhangsel 1, punt 4.3)

Berekening van de emissiemassastroom (bijlage III, aanhangsel 1, punt 4.4)

Berekening van de specifieke emissies (bijlage III, aanhangsel 1, punt 4.5)

Het volgende voorbeeld heeft betrekking op CO; voor de andere componenten is de berekeningswijze identiek.

De emissiemassastromen van de afzonderlijke testfasen worden vermenigvuldigd met de respectieve wegingsfactoren, als vermeld in bijlage III, aanhangsel 1, punt 2.7.1, en vervolgens bij elkaar opgeteld. Dit resulteert in de gemiddelde emissiemassastroom over de cyclus:

Het motorvermogen van de afzonderlijke testfasen wordt vermenigvuldigd met de respectieve wegingsfactoren, als vermeld in bijlage III, aanhangsel 1, punt 2.7.1, en vervolgens bij elkaar opgeteld. Dit resulteert in het gemiddelde vermogen over de cyclus:

Berekening van de specifieke NO_x -emissie voor een willekeurig punt (bijlage III, aanhangsel 1, punt 4.6.1)

Stel dat voor het willekeurige punt de volgende waarden zijn bepaald:

$$n_z = 1600 \text{ min}^{-1}$$

$$M_z = 495 \text{ Nm}$$

$NO_{x\text{ mass}, z} = 487,9 \text{ g/h}$ (berekend met de voorgaande formules)

$P(n)_z = 83 \text{ kW}$

$NO_{x, z} = 487,9/83 = 5,878 \text{ g/kWh}$

Bepaling van de emissiewaarde uit de cyclus (bijlage III, aanhangsel 1, punt 4.6.2)

Stel dat de waarden voor de vier omgevingstoestanden voor de ESC-cyclus als volgt luiden:

n_{RT}	n_{SU}	E_R	E_S	E_T	E_U	M_R	M_S	M_T	M_U
1 368	1 785	5,943	5,565	5,8 89	4,973	515	460	681	610

Vergelijking van de NO_x -emissiewaarde (bijlage III, aanhangsel 1, punt 4.6.3)

1.2. Deeltjesemissies

De deeltjesmeting is gebaseerd op het principe van bemonstering van de deeltjesmassa over de volledige cyclus, terwijl de deeltjesmassa van de monsters en deeltjesstroom (M_{SAM} en G_{EDF}) in de afzonderlijke testfasen worden bepaald. De berekening van G_{EDF} is afhankelijk van het gebruikte systeem. In de volgende voorbeelden wordt zowel een systeem met CO_2 -meting en een koolstofbalansmethode als een systeem met stroommeting gebruikt. Bij gebruik van een volledige-verdunningsstelsel wordt G_{EDF} rechtstreeks door de CVS-apparatuur gemeten.

Berekening van G_{EDF} (bijlage III, aanhangsel 1, punt 5.2.3 en 5.2.4)

Stel dat meetgegevens voor testfase 4 als volgt zijn. De berekeningsmethode is identiek voor de overige testfasen.

G_{EXH} (kg/h)	G_{FUEL} (kg/h)	G_{DILW} (kg/h)	G_{TOTW} (kg/h)	CO_{2D} (%)	CO_{2A} (%)
334,02	10,76	5,4435	6,0	0,657	0,040

a) koolstofbalansmethode

b) stroommetingsmethode

Berekening van de massastroom (bijlage III, aanhangsel 1, punt 5.4)

De massastromen G_{EDFW} voor de afzonderlijke testfasen worden vermenigvuldigd met de respectieve wegingsfactoren, als vermeld in bijlage III, aanhangsel 1, punt 2.7.1, en bij elkaar opgeteld. Dit resulteert in de gemiddelde G_{EDF} over de cyclus. De totale deeltjesmassa van de monsters M_{SAM} wordt berekend door de deeltjesmassa's voor de afzonderlijke cycli bij elkaar op te tellen.

Stel dat de massa van de deeltjes op de filters 2,5 mg bedraagt, dan is:

Achtergrondcorrectie (facultatief)

Stel dat er een achtergrondmeting heeft plaatsgevonden met de volgende resultaten. De verdunningsfactor DF wordt op dezelfde wijze berekend als in punt 3.1 van deze bijlage en wordt hier niet getoond.

Berekening van de specifieke emissie (bijlage III, aanhangsel 1, punt 5.5)

[Redacted]

[Redacted]

[Redacted]

met achtergrondcorrectie:

Berekening van de effectieve wegingsfactor (bijlage III, aanhangsel 1, punt 5.6)

Als de waarden voor toestand 4 op bovenstaande wijze zijn berekend, dan:

[Redacted]

Deze waarde is in overeenstemming met de voorgeschreven waarde van $0,10 \pm 0,003$.

2. ELR-TEST

Aangezien het gebruik van een Bessel-filter voor de berekening van het gemiddelde in de Europese wetgeving inzake uitlaatgassen geheel nieuw is, wordt hieronder een uitleg van het Bessel-filter, een voorbeeld van het opstellen van een Bessel-algoritme en een voorbeeld van de berekening van de uiteindelijke rook-waarde gegeven. De constanten van de Bessel-algoritme zijn uitsluitend afhankelijk van het ontwerp van de opaciteitsmeter en de bemonsteringsfrequentie van het data-acquisitiesysteem. Het verdient aanbeveling dat de fabrikant van de opaciteitsmeter de uiteindelijke Bessel-filterconstanten voor verschillende bemonsteringsfrequenties opgeeft en dat de klant deze constanten gebruikt voor het opstellen van de Bessel-algoritme en voor het berekenen van de rook-waarden.

2.1. Algemene opmerkingen over het Bessel-filter

Ten gevolge van hoogfrequente vervorming vertoont het ruwe signaal van de opaciteitsmeters (opaciteitssignaal) gewoonlijk een grillig karakter. Om deze hoogfrequente vervorming te elimineren is bij de ELR-test een Bessel-filter nodig. Het Bessel-filter zelf is een recursief, tweede-orde laagdoorlaatfilter dat een zo kort mogelijke stijgtijd van het signaal mogelijk maakt zonder overshoot.

Stel dat rook in real time door de uitlaatpijp passeert. Elke opaciteitsmeter levert met een zekere vertraging een verschillend opaciteitssignaal. De vertraging en de grootte van het gemeten opaciteitssignaal zijn voornamelijk afhankelijk van de geometrie van de meetkamer van de opaciteitsmeter, de bemonsteringleidingen voor de uitlaatgassen inbegrepen, en van de tijd die de elektronica van de opaciteitsmeter nodig heeft om het signaal te verwerken. De voor deze twee effecten karakteristieke waarden worden de fysische en de elektrische responsietijd genoemd. Zij vormen een apart filter voor elk type opaciteitsmeter.

Een Bessel-filter wordt gebruikt om te zorgen voor een uniform totaal filter dat karakteristiek is voor het gehele opaciteitsmetersysteem, bestaande uit:

- de fysische responsietijd van de opaciteitsmeter (t_p);
- de elektrische responsietijd van de opaciteitsmeter (t_e);
- de filterresponsietijd van het gebruikte Bessel-filter (t_F).

De resulterende totale responsietijd t_{Aver} van het systeem wordt gegeven door:

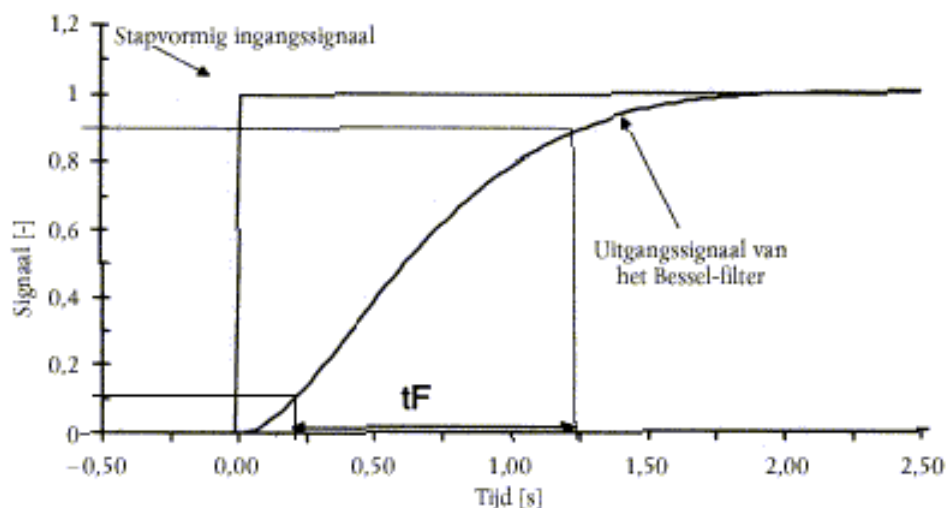


en moet voor alle soorten opaciteitsmeters gelijk zijn om dezelfde rook-waarde op te leveren. Daarom moet een zodanig Bessel-filter worden ontworpen dat de filterresponsietijd (t_F) samen met de fysische (t_p) en de elektrische responsietijd (t_e) van de afzonderlijke opaciteitsmeter de gewenste totale responsietijd (t_{Aver}) oplevert. Aangezien t_p en t_e voor elke opaciteitsmeter vastliggen en t_{Aver} voor deze richtlijn vastgesteld is op 1,0 s, kan t_F als volgt worden berekend:



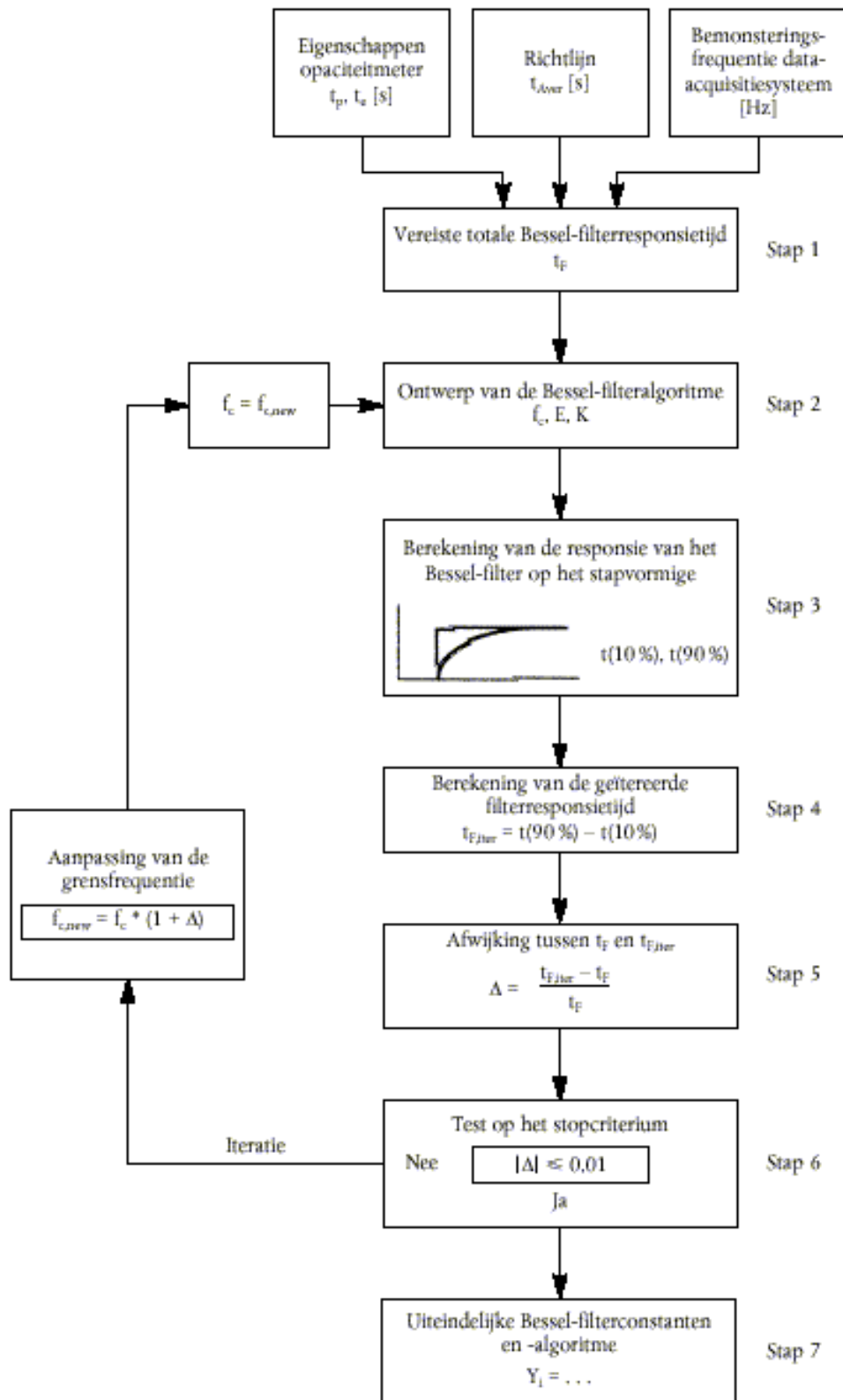
Per definitie is de filterresponsietijd t_F de stijgtijd van het uitgangssignaal van het filter tussen 10% en 90% van de waarde van het stapvormige ingangssignaal. Daarom moet de grensfrequentie van het Bessel-filter iteratief worden bepaald, zodat de responsietijd van het Bessel-filter binnen de voorgeschreven grenzen voor de stijgtijd ligt.

Figuur A
Signaalverloop van het stapvormig ingangssignaal en het gefilterde uitgangssignaal



Figuur A toont het verloop van het stapvormige ingangssignaal en het uitgangssignaal van het Bessel-filter en de responsietijd (t_F) van het Bessel-filter.

Het ontwerp van het uiteindelijke Bessel-filter is een meerstappenprocedure waarvoor verschillende iteratiecyclussen nodig zijn. Het schema van het iteratieproces staat hieronder.



$$Y_1 = \dots$$

2.2. Berekening van de Bessel-algoritme

In dit voorbeeld wordt in verschillende stappen een Bessel-algoritme ontwikkeld op basis van bovenstaande iteratieprocedure, die gebaseerd is op bijlage III, aanhangsel 1, punt 6.1.

Voor de opaciteitsmeter en het data-acquisitiesysteem wordt uitgegaan van de volgende karakteristieken:

- fysische responsietijd t_p : 0,15 s;
- elektrische responsietijd t_e : 0,05 s;

De index, de tijd en de waarde van het stapvormige ingangssignaal en de resulterende waarde van het gefilterde uitgangssignaal voor de eerste en de tweede iteratie staan in tabel B. De punten die grenzen aan t_{10} en t_{90} zijn vetgedrukt.

Na de eerste iteratie ligt in tabel B de 10%waarde tussen index 30 en 31 en de 90% waarde tussen index 191 en 192. Voor de berekening van $t_{F,iter}$ worden de t_{10} - en t_{90} -waarden op de volgende wijze bepaald door lineaire interpolatie tussen de aangrenzende meetpunten:

waarin out_{upper} respectievelijk out_{lower} de aangrenzende punten van het Bessel-gefilterde uitgangssignaal zijn en t_{lower} de tijd is van het voorgaande tijdstip, zoals aangegeven in tabel B.

Stap 4 Filterresponsietijd voor de eerste iteratiecyclus

Stap 5 Afwijking tussen de gewenste en de berekende filterresponsietijd voor de eerste iteratiecyclus

Stap 6 Test op het stopcriterium

De eis is dat $|\Delta| \leq 0,01$,.Aangezien $0,081641 > 0,01$, is niet aan het stopcriterium voldaan en is een tweede iteratiecyclus nodig. Voor deze iteratiecyclus wordt uit en Δ een nieuwe grensfrequentie berekend:

Deze nieuwe grensfrequentie wordt in de tweede iteratiecyclus gebruikt, waarbij weer bij stap 2 wordt begonnen. De iteratie gaat door totdat aan het stopcriterium is voldaan. De resulterende waarden voor de eerste en de tweede iteratie staan in het overzicht van tabel A.

Tabel A
Waarden voor de eerste en de tweede iteratie

Parameter	Iteratie1	Iteratie 2
f_c (Hz)	0,318152E	0,344126
E (-)	7,07948 E-5	8,272777 E-5
K (-)	0,970783	0,968410
t_{10} (s)	0,200945	0,185523
t_{90} (s)	1,276147	1,179562

$t_{F,iter}$ (s)	1,075202	0,994039
Δ (-)	0,081641	0,006657
$f_{c,new}$ (Hz)	0,344126	0.346417

Stap 7 Uiteindelijke Bessel-algoritme

Zodra aan het stopcriterium is voldaan, worden de uiteindelijke Bessel-filterconstanten en de uiteindelijke Bessel-algoritme bepaald overeenkomstig stap 2. In dit voorbeeld wordt na de tweede iteratie aan het stopcriterium voldaan ($\Delta = 0,006657 \leq 0,01$). De uiteindelijke algoritme wordt dan gebruikt om de gemiddelde rook-waarden te bepalen (zie onderstaand punt 2.3).



Tabel B

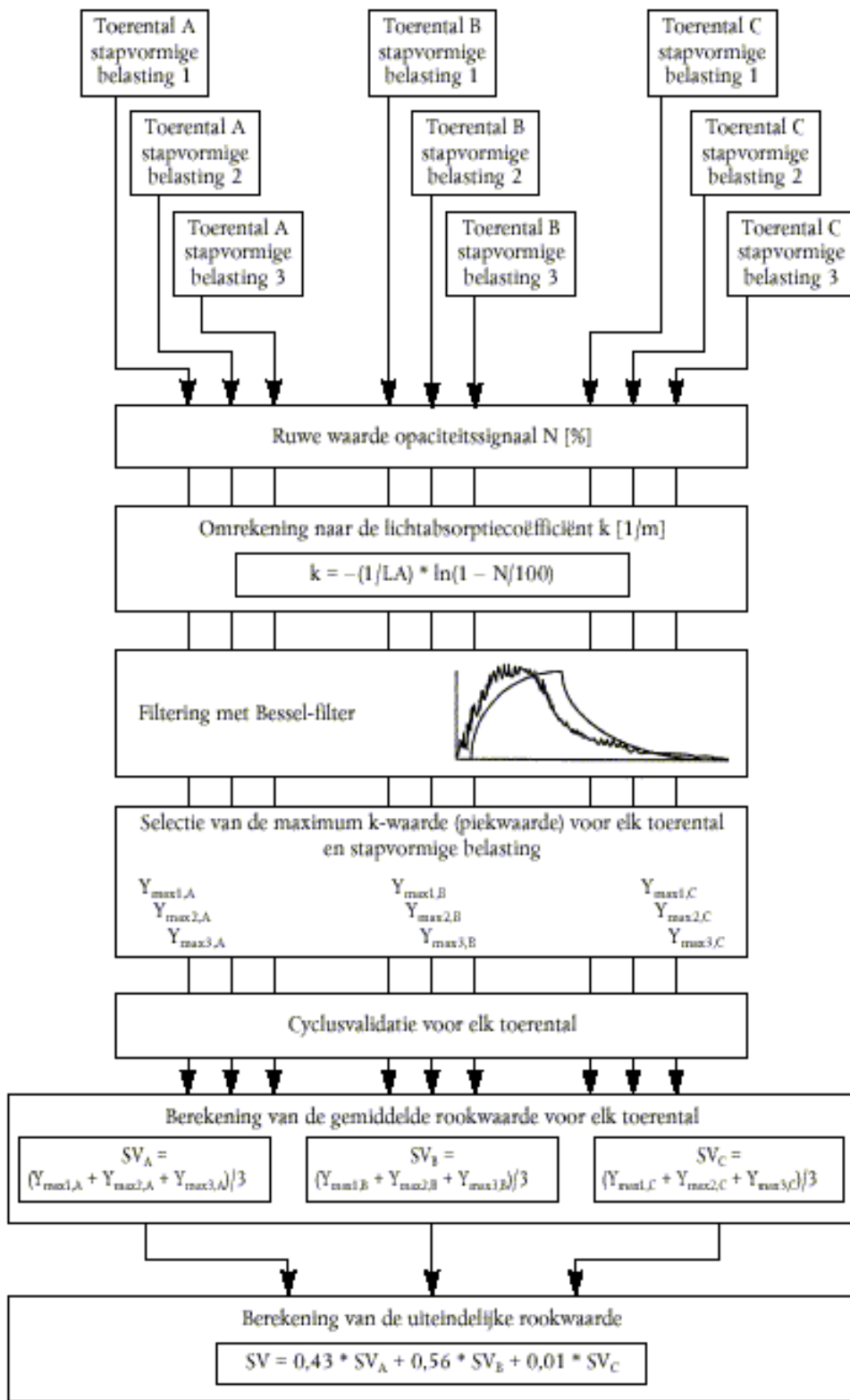
Waarden van het stapvormigingangssignaal en het uitgangssignaal van het Bessel-filter voor de eerste en de tweede iteratiecyclus

index i [-]	Tijd [s]	Stapvormig ingangssignaal S_i [-]	Gefilterd uitgangssignaal Y_i [-]	
			iteratie 1	Iteratie 2
-2	-0,013333	0	0,000000	0,000000
-1	-0,006667	0	0,000000	0,000000
0	0,000000	1	0,000071	0,000083
1	0,006667	1	0,000352	0,000411
2	0,013333	1	0,000908	0,001060
3	0,020000	1	0,001731	0,002019
4	0,026667	1	0,002813	0,003278
5	0,033333	1	0,004145	0,004828
~	~	~	~	~
24	0,160000	1	0,067877	0,077876
25	0,166667	1	0,072816	0,083476
26	0,173333	1	0,077874	0,089205
27	0,180000	1	0,083047	0,095056
28	0,186667	1	0,088331	0,101024
29	0,193333	1	0,093719	0,107102
30	0,200000	1	0,099208	0,113286
31	0,206667	1	0,104794	0,119570
32	0,213333	1	0,110471	0,125949

33	0,220000	1	0,116236	0,132418
34	0,226667	1	0,122085	0,138972
35	0,233333	1	0,128013	0,145605
36	0,240000	1	0,134016	0,152314
37	0,246667	1	0,140091	0,159094
~	~	~	~	~
175	1,166667	1	0,862416	0,895701
176	1,173333	1	0,864968	0,897941
177	1,180000	1	0,867484	0,900145
178	1,186667	1	0,869964	0,902312
179	1,193333	1	0,872410	0,904445
180	1,200000	1	0,874821	0,906542
181	1,206667	1	0,877197	0,908605
182	1,213333	1	0,879540	0,910633
183	1,220000	1	0,881849	0,912628
184	1,226667	1	0,884125	0,914589
185	1,233333	1	0,886367	0,916517
186	1,240000	1	0,888577	0,918412
187	1,246667	1	0,890755	0,920276
188	1,253333	1	0,892900	0,922107
189	1,260000	1	0,895014	0,923907
190	1,266667	1	0,897096	0,925676
191	1,273333	1	0,899147	0,927414
192	1,280000	1	0,901168	0,929121
193	1,286667	1	0,903158	0,930799
194	1,293333	1	0,905117	0,932448
195	1,300000	1	0,907047	0,934067
~	~	~	~	~

2.3. Berekening van de rook-waarden

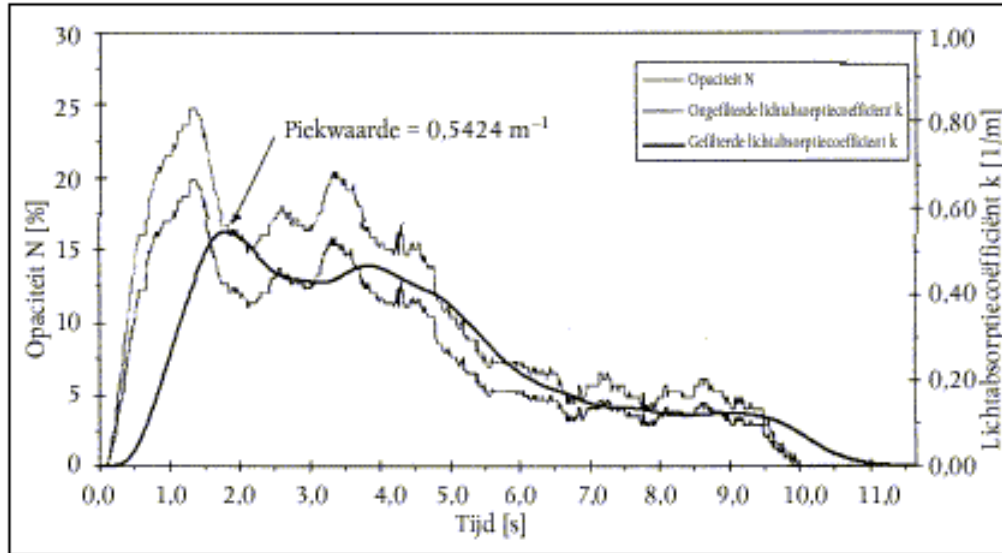
Onderstaand schema toont de algemene gang van zaken voor de bepaling van de uiteindelijke rook-waarde.



In figuur B zijn het verloop van het gemeten ruwe opaciteitssignaal en dat van de ongefilterde en de gefilterde lichtabsorptiecoëfficiënt (k-waarde) van de eerste belastingsstap bij een ELRtest getoond. ook is de maximumwaarde $Y_{\max 1,A}$ (piek) van het k-signaal aangegeven. Tabel C bevat de overeenkomstige numerieke waarden van de index i , de tijd (bemonsteringsfrequentie 150 Hz), het ruwe opaciteitssignaal, de ongefilterde k-waarde en de gefilterde k-waarde. De filtering is verricht met de constanten van de in punt 2.2 van deze bijlage bepaalde Bessel-algoritme. Vanwege de grote hoeveelheid gegevens zijn alleen het signaalverloop rond het begin en de piek van het signaal in de tabel opgenomen.

Figuur B

Verloop van de gemeten opaciteit N, de ongefilterde lichtabsorptiecoëfficiënt k en de gefilterde lichtabsorptiecoëfficiënt k



De piekwaarde ($i = 272$) wordt berekend uitgaande van de volgende gegevens voor tabel C. Alle overige k-waarden worden op dezelfde wijze berekend. Bij het begin van de algoritme worden S_1 , S_2 , Y_1 en Y_2 op nul gesteld.

L_A (m)	0,430
Index i	272
N (%)	16,783
S_{271} (m^{-1})	0,427392
S_{270} (m^{-1})	0,427532
Y_{271} (m^{-1})	0,542383
Y_{270} (m^{-1})	0,542337

Berekening van de k-waarde (bijlage III, aanhangsel 1, punt 6.3.1)

Deze waarde correspondeert met S_{272} in de volgende vergelijking.

Berekening van de Bessel-gemiddelde rook-waarde (bijlage III, aanhangsel 1, punt 6.3.2)

In de volgende vergelijking worden de Bessel-constanten uit het voorgaande punt 2.2 gebruikt. De momentane ongefilterde k-waarde, die hierboven is berekend, correspondeert Met S_{272} (S_i) S_{271} (S_{i-1}) en S_{270} (S_{i-2}) zijn de twee voorgaande ongefilterde k-waarden, Y_{271} (Y_{i-1}) en Y_{270} (Y_{i-2}) zijn de twee voorgaande gefilterde k-waarden.

Deze waarde correspondeert met $Y_{\max 1,A}$ in de volgende vergelijking.

Berekening van de uiteindelijke rook-waarde (bijlage III, aanhangsel 1, punt 6.3.3)

Voor elk toerental wordt het maximum van de gefilterde k-waarde genomen als uitgangspunt voor de verdere berekening. Uitgaande van de volgende waarden:

Toerental	$Y_{\max} (m^{-1})$		
	Cyclus 1	Cyclus 2	Cyclus 3
A	0,5424	0,5435	0,5587
B	0,5596	0,5400	0,5389
C	0,4912	0,5207	0,5177

Cyclusvalidatie (bijlage III, aanhangsel 1, punt 3.4)

Voor de berekening van de SV moet de cyclus worden gevalideerd door de relatieve standaarddeviatie van de rook-waarde van de drie cycli voor elk toerental te berekenen.

Toerental	Gemiddelde SV (m^{-1})	Absolute standaarddeviatie (m^{-1})	Relatieve standaarddeviatie
A	0,5482	0,0091	1,7
B	0,5462	0,0116	2,1
C	0,5099	0,0162	3,2

In dit voorbeeld wordt voldaan aan het validatiecriterium van 15 % voor elk toerental.

Tabel C
Opaciteit N, ongefilterde en gefilterde k-waarde aan het begin van de belastingsstap

index i [-]	Tijd [s]	Opaciteit N [%]	ongefilterde k-waarde [m ⁻¹]	Gefilterde k-waarde [m ⁻¹]
-2	0,000000	0,000000	0,000000	0,000000
-1	0,000000	0,000000	0,000000	0,000000
0	0,000000	0,000000	0,000000	0,000000
1	0,006667	0,020000	0,000465	0,000000
2	0,013333	0,020000	0,000465	0,000000
3	0,020000	0,020000	0,000465	0,000000
4	0,026667	0,020000	0,000465	0,000001
5	0,033333	0,020000	0,000465	0,000002
6	0,040000	0,020000	0,000465	0,000002
7	0,046667	0,020000	0,000465	0,000003
8	0,053333	0,020000	0,000465	0,000004
9	0,060000	0,020000	0,000465	0,000005
10	0,066667	0,020000	0,000465	0,000006
11	0,073333	0,020000	0,000465	0,000008
12	0,080000	0,020000	0,000465	0,000009
13	0,086667	0,020000	0,000465	0,000011
14	0,093333	0,020000	0,000465	0,000012
15	0,100000	0,192000	0,004469	0,000014
16	0,106667	0,212000	0,004935	0,000018
17	0,113333	0,212000	0,004935	0,000022
18	0,120000	0,212000	0,004935	0,000028
19	0,126667	0,343000	0,007990	0,000036
20	0,133333	0,566000	0,013200	0,000047
21	0,140000	0,889000	0,020767	0,000061
22	0,146667	0,929000	0,021706	0,000082
23	0,153333	0,929000	0,021706	0,000109
24	0,160000	1,263000	0,029559	0,000143
25	0,166667	1,455000	0,034086	0,000185

26	0,173333	1,697000	0,039804	0,000237
27	0,180000	2,030000	0,047695	0,000301
28	0,186667	2,081000	0,048906	0,000378
29	0,193333	2,081000	0,048906	0,000469
30	0,200000	2,424000	0,057067	0,000573
31	0,206667	2,475000	0,058282	0,000693
32	0,213333	2,475000	0,058282	0,000827
33	0,220000	2,808000	0,066237	0,000977
34	0,226667	3,010000	0,071075	0,001144
35	0,233333	3,253000	0,076909	0,001328
36.	0,240000	0,606000	0,085410	0,001533
37	0,246667	3,960000	0,0939660,	001758
38	0,253333	4,455000	0,105983	0,002007
39	0,260000	4, 818000	0,114836	0,002283
40	0,266667	5,020000	0,119776	0,002587
~	~	~	~	~
259	1,726667	17,182000	0,438429	0,538856
260	1,733333	16,949000	0,431896	0,539423
261	1,740000	16,788000	0,427392	0,539936
262	1,746667	16,798000	0,427671	0,540396
263	1,753333	16,788000	0,427392	0,540805
264	1,760000	16,798000	0,427671	0,541163
265	1,766667	16,798000	0,427671	0,541473
266	1,773333	16,788000	0,427392	0,541735
267	1,780000	16,788000	0,427392	0,541951
268	1,786667	16,798000	0,427971	0,542123
269	1,793333	16,798000	0,427671	0,542251
270	1,800000	16,793000	0,427532	0,542337
271	1,806667	16,788000	0,427392	0,542383
272	1,813333	16,783000	0,427252	0,542389
273	1,820000	16,780000	0,427168	0,542357
274	1,826667	16,798000	0,427671	0,542288
275	1,833333	16,778000	0,427112	0,542183
276	1,840000	16,808000	0,427951	0,542043

277	1,846667	16,768000	0,426933	0,541870
278	1,853333	16,010000	0,405750	0,541662
279	1,860000	16,010000	0,405750	0,541418
280	1,866667	16,000000	0,405473	0,541136
281	1,873333	16,010000	0,405750	0,540819
282	1,880000	16,000000	0,405473	0,540466
283	1,886667	16,010000	0,405750	0,540080
284	1,893333	16,394000	0,416406	0,539663
285	1,900000	16,394000	0,416406	0,539216
286	1,906667	16,404000	0,416685	0,538744
287	1,913333	16,394000	0,416406	0,538245
288	1,920000	16,394000	0,416406	0,537722
289	1,926667	16,384000	0,416128	0,537175
290	1,933333	16,010000	0,405750	0,536604
291	1,940000	16,010000	0,405750	0,536009
292	1,946667	16,000000	0,405473	0,535389
293	1,953333	16,010000	0,405750	0,534745
294	1,960000	16,212000	0,411349	0,534079
295	1,966667	16,394000	0,416406	0,533394
296	1,973333	16,394000	0,416406	0,532691
297	1,980000	16,192000	0,410794	0,531971
298	1,986667	16,000000	0,405473	0,531233
299	1,993333	16,000000	0,405473	0,530477
300	2,000000	16,000000	0,405473	0,529704
~	~	~	~	~

3. ETC-TEST

3.1 Gasvormige emissies (dieselmotor)

Laten we uitgaan van de volgende testresultaten voor een PDP-CVSsysteem:

V_0 (m ³ /rev)	0,1776
N_p (rev)	23 073
p_B (kPa)	98,0
p_1 (kPa)	2,3

T (K)	322,5
H _a (g/kg)	12,8
NO _x conce (ppm)	53,7
NO _x concd (ppm)	0,4
CO _{conce} (ppm)	38,9
CO _{concd} (ppm)	1,0
HC _{conce} (ppm)	9,00
HC _{concd} (ppm)	3,02
CO _{2,conce} (%)	0,723
W _{act} (kWh)	62,72

Berekening van de verdunde uitlaatgasstroom (bijlage III, aanhangsel 2, punt 4.1)

Berekening van de NO_x-correctiefactor (bijlage III, aanhangsel 2, punt 4.2)

Berekening van de concentraties met achtergrondcorrectie (bijlage III, aanhangsel 2, punt 4.3.7.1)

Stel dat de dieselbrandstof de samenstelling C₁F_{1,8} heeft.

Berekening van de verdunde uitlaatgasstroom (bijlage III, aanhangsel 2, punt 4.1)

Berekening van de NO_x-correctiefactor (bijlage III, aanhangsel 2, punt 4.2)

Berekening van de emissiemassastroom (bijlage III, aanhangsel 2, punt 4.3.1.)

Berekening van de specifieke emissies (Bijlage III, aanhangsel 2, punt 4.4.)

3.2. Deeltjesemissies (dieselmotor)

Stel dat de testresultaten voor een PDP-CVS-systeem met dubbele verdunning als volgt zijn:

M_{TOT} (kg)	4237,2
$M_{f,p}$ (mg)	3,030
$M_{f,b}$ (mg)	0,044
M_{TOT} (kg)	2,159
M_{SEC} (kg)	0,909
M_d (mg)	0,341
M_{DIL} (kg)	1,245
DF	18,69
W_{act} (kWh)	62,72

Berekening van de massa-emissie (Bijlage III, aanhangsel 2, punt 5.1.)

Berekening van de massa-emissie met achtergrondcorrectie (bijlage III, aanhangsel 2, punt 5.1)

Berekening van de specifieke emissie (bijlage III, aanhangsel 2, punt 5.2)

met achtergrondcorrectie

3.3. Gasvormige emissies (CNG-motor)

Stel dat de testresultaten voor een PDP-CVStelsysteem met dubbele verdunning als volgt zijn:

M_{TOTW} (kg)	4237,2
H_a (g/kg)	12,8
NO_x conce (ppm)	53,7
NO_x concd (ppm)	0,4
CO conce (ppm)	38,9
CO concd (ppm)	1,0
HC conce (ppm)	9,00
HC concd (ppm)	3,02
CH_4 conce (ppm)	
CH_4 concd (ppm)	
W_{act} (kWh)	62,72

Berekening van de NO_x -correctiefactor (bijlage III, aanhangsel 2, punt 4.2)

Berekening van de NMHC-concentratie (bijlage III, aanhangsel 2, punt 4.3.1)

a) GC-methode

b) NMC-methode

Bij een rendement van 0,04 voor methaan en 0,98 voor ethaan (zie bijlage III, aanhangsel 5, punt 1.8.4) is:

Berekening van de concentraties met achtergrondcorrectie (bijlage III, aanhangsel 2, punt 4.3.1.1)

Met G_{20} als referentiebrandstof (100% methaan) met samenstelling C_1H_4 is:

[Redacted]

[Redacted]

Voor NMHC is de achtergrondwaarde gelijk aan het verschil tussen HC_{concd} en CH_4_{concd}

[Redacted]

[Redacted]

[Redacted]

[Redacted]

Berekening van de emissiemassastromen (bijlage III, aanhangsel 2, punt 4.3.1)

[Redacted]

[Redacted]

[Redacted]

[Redacted]

Berekening van de specifieke emissies (bijlage III, aanhangsel 2, punt 4.4)

[Redacted]

[Redacted]

[Redacted]

[Redacted]

4. λ -VERSCHUIVINGSFACTOR ($S\lambda$)

4.1. Berekening van de λ -verschuivingsfactor ($S\lambda$) (1)

[Redacted]

waarin:

$S\lambda$ % inert gas = vol % van de inerte gassen in de brandstof (N_2 , CO_2 , He, enz.)

O_2^* = vol % van de oorspronkelijke zuurstof in de brandstof

n en m = staan voor de gemiddelde C_nH_m die de koolwaterstoffen in de brandstof, d.w.z.:

waarin

CH_4 = vol % methaan in de brandstof

C_2 = vol % van alle C_2 -koolwaterstoffen (bv.: C_2H_6 , C_2H_4 , enz.) in de brandstof

C_3 = vol % van alle C_3 -koolwaterstoffen (bv.: C_3H_8 , C_3H_6 , enz.) in de brandstof

C_4 = vol % van alle C_4 -koolwaterstoffen (bv.: C_4H_{10} , C_4H_8 , enz.) in de brandstof

C_5 = vol % van alle koolwaterstoffen (bv.: C_5H_{12} , C_5H_{10} , enz.) in de brandstof

Verdunningsmiddel = vol % van de verdunningsgassen in de brandstof (O_2^* , N_2 , CO_2 , He, enz.)

4.2. Voorbeelden van de berekening van de λ -verschuivingsfactor $S\lambda$

Voorbeeld 1: G25: $CH_4 = 86\%$, $N_2 = 14\%$ (vol)

Voorbeeld 2: G_{xy} : $DH_4 = 87\%$, $C_2H_6 = 13\%$ (vol.)



Voorbeeld 3: USA: $\text{CH}_4 = 89\%$, $\text{C}_2\text{H}_6 = 4,5\%$, $\text{C}_3\text{H}_8 = 2,3\%$, $\text{C}_6\text{H}_{14} = 0,2\%$, $\text{O}_2 = 0,6\%$, $\text{N}_2 = 4\%$



Voetnoot:

(1) Stoichiometrische lucht-brandstofverhouding van brandstoffen voor automobielen - SAE J1829, juni 1987. John B. Heywood, Internal Combustion Engine Fundamentals, McGrawHill, 1988, hoofdstuk 3.4 "Combustion stoichiometry" (blz. 68-72).

Voor vragen en/of opmerkingen over EMIS kunt u mailen naar emis@vito.be

Copyright © [VITO](http://www.vito.be) 16/11/1999

Ontwerp [EMIS](http://www.emis.vito.be).